

補強円孔を有する固定正方形板の弾塑性せん断座屈実験

福山大学 工学部 正員 上野谷 実
福山大学 工学部 正員 ○中村 雅樹

1. まえがき 孔を有する板の座屈強度は板の形状、荷重条件、周辺境界の支持条件等によって異なる。理論解析では面外方向変形に対する境界条件を単純支持又は固定支持とし板周辺の面内方向変形に対する境界条件を

図1(a)に示すように周辺上で等分布せん断応力が作用し面内方向変位が自由の場合(以下「一様せん断応力載荷」と呼ぶ)と、図1(b)に示すように面内方向変位が拘束され、周辺が直線を保つような変形状態(以下「一様せん断変形載荷」と呼ぶ)の有孔板の弾塑性せん断座屈強度が明らかにされている¹⁾。前回は一様せん断変形を受ける有孔板の弾塑性座屈実験を行い、解析値と良く近似していることを示した²⁾。今回の一様せん断変形を受ける正方形鋼板が板の中央に補強円孔を有する場合の弾塑性座屈実験を行い、孔の大きさと座屈強度及び終局強度の関係及び後座屈挙動や孔縁と周辺の応力状態を実験的に明らかにしようとするものである。

2. 実験方法

載荷方法は図2に示すように、試験機の引張荷重Pが連結装置から載荷フレームを経て、板周辺が一様

せん断変形となる方法を用いた。供試体



図1 有孔板のせん断変形

表1 最大初期たわみ

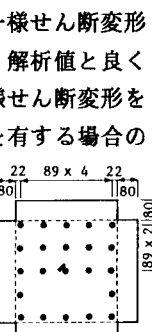
d/l	最大初期たわみ δ_{max} (mm)	δ_{max}/t
0	0.29	0.09
0.3	0.39, -0.56	0.13, -0.18
0.5	0.35	0.11
0.7	1.33	0.43

(a) 一様せん断応力載荷 (b) 一様せん断変形載荷

図2 載荷方法(mm)

表2 補強寸法

d/l	0.3	0.5	0.7
t_x/t	2.59	3.15	2.82
実験値	2.61	3.42	2.99

 $t = 3.1 t$ (mm)

無孔板

円孔板

三軸ひずみゲージ
二軸ひずみゲージ
片面 両面

接着位置 (単位:mm)

a1, a2, b1, b2, c1, c2

周辺断面 中間断面

中央断面

Y x z

P

P

a1, a2, b1, b2, c1, c2

$$\tau_0 = Q/A \dots \dots \quad (1)$$

$$Q = P / \sqrt{2} \dots \dots \quad (2)$$

ここに、 Q :荷重 P の分力

P : 対角線方向荷重

A:正方形板断面积 ($\ell \cdot t$)

無孔板の理論的な応力状態は $\tau_{xy}/\tau_0 = 1$, $\sigma_x/\tau_0 = \sigma_y/\tau_0 = 0$ の純せん断応力状態であり、載荷点付近以外では良く近似している。

図6に円孔板の周辺断面における応力分布を示す。これより載荷点、非載荷点を除き解析値に近似した値を示す。

図 7 に孔縁の接線方向の垂直応力 σ_θ

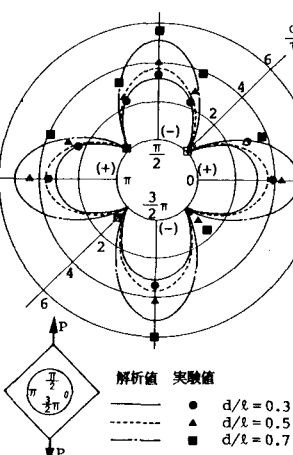


図7孔縁の垂直応力分布

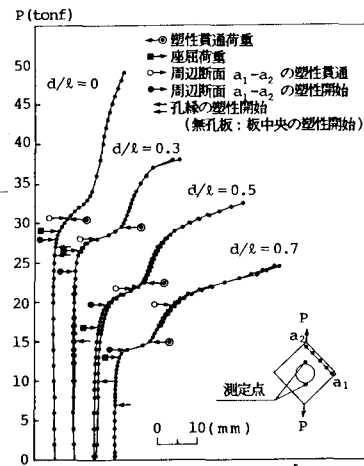


図8荷重一面外たわみ曲線

1/4。の垂直応力分布を示

す。これらから全体的に実験値が解析値より大きいが、 $d/\ell = 0.7$ より孔の小さい $d/\ell = 0.3, 0.5$ の方が良く近似している。

図8に荷重一面外たわみ曲線を示す。塑性域の拡がりと座屈により急激にたわみが増加するが、その後かなり変位が大きくなる傾向を示す。これ

座屈荷重は図9に示す荷重-面外たわみ2乗曲線によって決定した。また、有孔板は決定した2つの座屈荷重の平均とした。

図 10 に塑性崩壊荷重を決定した荷重一面内変位曲線を示す。この図の無孔板と図 8 の無孔板の曲線の変化を比較すると図 8 の無孔板は最終荷重において耐荷力が残っているように見えるが図 10 では崩壊寸前であることがわかる。

図11に座屈強度及び終局強度の関係を示す。み硬化を考えない場合、次式によって定義する。

$$Q_p = \sigma \sqrt{A} / \sqrt{3} \dots \dots \dots \quad (3)$$

実験による座屈強度は解析値と比較すると、 $d/\ell = 0.5$ 以外は良く近似している。

実験による塑性ヒンジ線が貫通する塑性貫通強度は F E M による塑性崩壊強度の図 1 1 座屈強度及び終局強度解析値と比較すると d/ℓ 以外は良く近似している。終局強度は座屈強度の 1.4~1.9 倍であった。実験による終局強度は完全張力場理論から求めた終局強度と F E M による塑性崩壊強度の間に位置し、完全張力場の終局強度に近いことから、完全張力場に近い応力状態と思われる。

4. あとがき (1) 座屈強度は解析値と全体的に近似している。 (2) 幅厚比 $\ell/t = 129$ の本実験の場合、終局強度は座屈強度の 1.4~1.9 倍である。 (3) 実験による終局の応力状態は完全張力場に近いと思われる。

参考文献 (1) 上野谷: 一様せん断変形を受ける円孔板の彈塑性座屈解析: 福山大学工学部紀要, 8号, 1986. 3.

(2) 上野谷・中村: 円孔を有する固定正方形板の弾塑性せん断座屈実験、第41回年次講演会概要集、1986. 11.

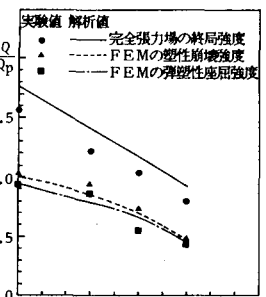


図10荷重一面内変位曲線